



## تجزیه و تحلیل بیان برخی از ژن‌های درگیر در شبکه‌های پیام‌رسانی در گیاه آلورپوس لیتورالیس (*Aeluropus littoralis* (Gouan) Parl.) تحت تنش شوری

الهام یونسی ملردی<sup>۱</sup>، قربانعلی نعمت‌زاده<sup>۲</sup>، علی پاکدین پاریزی<sup>۳\*</sup>

۱. دانشجوی دکتری بیوتکنولوژی گیاهی، پژوهشکده ژنتیک و زیست‌فناوری کشاورزی طبرستان، دانشگاه علوم کشاورزی و منابع طبیعی ساری

۲. استاد گروه زراعت و اصلاح نباتات، دکترای ژنتیک، دانشگاه علوم کشاورزی و منابع طبیعی ساری

۳. استادیار پژوهشکده ژنتیک و زیست‌فناوری کشاورزی طبرستان، دکترای بیوتکنولوژی کشاورزی، پژوهشکده ژنتیک و زیست‌فناوری کشاورزی

طبرستان، دانشگاه علوم کشاورزی و منابع طبیعی ساری

تاریخ دریافت: ۹۸/۰۲/۱۵؛ تاریخ پذیرش: ۹۸/۰۴/۱۸

### چکیده

در این مطالعه، فعالیت آن‌تی‌اکسیدانی و تغییرات بیان ژن‌های مرتبط با شبکه پیام‌رسان و تنظیمی پاسخ‌دهنده به تنش شوری شامل *G-types-LecRLK*، *CIPK20*، *HSFA1a* و *C3H-ZF* در برگ‌های گیاه هالوفیت *Aeluropus littoralis* تحت تنش شوری مورد بررسی قرار گرفت. قلمه‌های گیاهی در شرایط هیدروپونیک کشت و پس از یک ماه تحت تیمارهای کنترل (محلول هوکلند بدون افزودن کلرید سدیم)، ۲۰۰ و ۴۰۰ میلی‌مولار نمک کلرید سدیم قرار گرفتند. پس از ۷۲ ساعت تیمار، نمونه‌های برگی از گلدان‌ها جمع‌آوری شد و محتوای پراکسید هیدروژن و فعالیت آنزیم آسکوربات پراکسیداز اندازه‌گیری و تغییرات بیان ژن‌های ذکر شده با استفاده از روش *qRT-PCR* ارزیابی شد. نتایج نشان داد که فعالیت آنزیم آسکوربات پراکسیداز در هر دو غلظت ۲۰۰ و ۴۰۰ میلی‌مولار به‌طور معنی‌داری افزایش یافت ( $P < 0.05$ ). بیان ژن *LecRLK* تغییر چندانی را نسبت به شاهد نشان نداد و بیان ژن *CIPK20* به ترتیب ۷ و ۱۶ برابر نسبت به شاهد در هر دو تیمار ۲۰۰ و ۴۰۰ میلی‌مولار کلرید سدیم کاهش یافت. بیان ژن *HSFA1a* با مقدار نمک رابطه مثبت داشت ( $P < 0.05$ ) و با افزایش غلظت نمک افزایش چشمگیری نشان داد. بیان ژن *C3H-ZF* به‌طور معنی‌داری در هر دو تیمار ۲۰۰ و ۴۰۰ میلی‌مولار نسبت به شاهد کاهش یافت ( $P < 0.05$ ) نتایج نشان داد که الگوی بیان ژن‌های مورد مطالعه تحت شرایط تنش شوری می‌تواند به نقش هر ژن، غلظت نمک و مدت‌زمان تنش مربوط باشد.

واژه‌های کلیدی: آلورپوس لیتورالیس، تنش‌های غیرزیستی، بیان ژن، هالوفیت، تحمل شوری.

### مقدمه

محیطی نامطلوب، از طریق تولید بیش‌ازحد و انباشت گونه‌های اکسیژن فعال ( $ROS^1$ ) منجر به تحریک واکنش آن‌تی‌اکسیدانی گیاه می‌شود که به‌طور کلی تنش اکسیداتیو نامیده می‌شود. گونه‌های اکسیژن فعال به بسیاری از اجزای سلولی آسیب رسانده و سبب کاهش محصول می‌شود. گیاهان با به‌کارگیری سیستم‌های کارآمدی با تنش‌های اکسیداتیو

تنش شوری یکی از مهم‌ترین تنش‌های زیستی است که به‌شدت اقتصاد کشاورزی را در جهان تحت تأثیر قرار داده است. درک مکانیسم تحمل تنش شوری و بهبود توانایی تحمل در محصولات کشاورزی از جمله موضوعات مهم در حوزه مطالعات کشاورزی محسوب می‌شود. گیاهان از طریق تغییرات در سطح فیزیولوژیک و مولکولی به اثرات مخرب تنش‌های مختلف از قبیل شوری پاسخ می‌دهند. شرایط

<sup>1</sup> Reactive oxygen species

را به پیام تغییر بیان ژن‌های واکنش‌دهنده به تنش تبدیل می‌کنند. یکی از خانواده‌های فاکتورهای رونویسی که به ایجاد پاسخ مناسب در برابر تنش‌های زیست‌محیطی کمک می‌کند، HSFها هستند (Pandey et al., 2015). پروتئین‌های HSF به سه دسته (A, B و C) طبقه‌بندی می‌شوند و پروموتورهای ژن‌های هدف این خانواده از فاکتورهای رونویسی HSE را شامل می‌شوند (Pandey et al., 2015; Guo et al., 2016). گروه ۱ در کلاس A از HSFها (HSFA1) عامل اصلی فعال‌کننده رونویسی در پاسخ به شوک حرارتی هستند و همچنین گزارش شده است که این زیرگروه می‌تواند واکنش رونویسی را در طول تنش‌های غیرزیستی دیگر از قبیل تنش‌های اکسیداتیو، شوری و خشکی نیز میانجی‌گری کند (Liu et al., 2013). گروه دیگر از فاکتورهای رونویسی درگیر در پاسخ به تنش‌های زیستی خانواده ZFها هستند. خانواده ZF بر اساس تعداد و ترتیب قرارگیری آمینواسیدهای سیستئین و هیستون در ساختار ثانویه‌شان به ۹ گروه اصلی تقسیم‌بندی می‌شوند (Ganie et al., 2020). گروه C3H از خانواده ZF نقش مهمی در افزایش تحمل به تنش‌های زیست‌محیطی بازی می‌کنند (Jiang et al., 2017). گزارش شده است که افزایش بیان ژن BoC3H (از خانواده C3H-ZF) از طریق تنظیم سطح پراکسید هیدروژن، هدایت الکتریکی نسبی، پرولین آزاد، مالون دی‌آلدئید و آنزیم‌های آنتی‌اکسیدان تحمل به نمک را در گیاه *Brassica oleracea* افزایش می‌دهد (Jiang et al., 2017). یک مسیر عمومی انتقال پیام که منجر به پاسخ تنش در گیاهان می‌شود، در شکل ۱ نشان داده شده است.

گیاه آلوروپوس لیتورالیس (*Aeluropus littoralis* Parl. (Gouan))، چمنی چندساله، هالوفیت و متعلق به خانواده گرامینه است که در خاک‌های شور رشد می‌کند. این گیاه می‌تواند یون سدیم را از طریق غده‌های نمکی بر روی سطح برگ تخلیه کند، بنابراین قادر است در خاک‌های شور بدون علائم سمیت زندگی کند. علاوه بر این، آلوروپوس لیتورالیس گیاهی دیپلوئید ( $2n = 2X = 14$ ) با ژنوم نسبتاً کوچک (۳۴۹ مگاباز) است که این ویژگی مولکولی آن را به یک منبع ژنتیکی ارزشمند برای درک مبنای مولکولی پاسخ به تنش شوری و بهبود تحمل در گیاهان هم‌خانواده این گیاه مانند گندم و برنج تبدیل کرده است (Zouari et al., 2007). در پژوهش حاضر با هدف بررسی تغییرات شبکه‌های پیام‌رسانی و تنظیمی گیاه هالوفیت آلوروپوس لیتورالیس تحت

مقابله می‌کنند (Jithesh et al., 2006). آنزیم‌های آنتی‌اکسیدانی به‌عنوان بخشی از این سیستم‌ها عناصر کلیدی مکانیسم‌های دفاعی و مقاومت به تنش هستند. فعالیت آنزیم‌های آنتی‌اکسیدانی در گیاهان تحت تنش شوری، تغییر چشمگیری می‌کند و میزان تحمل به شوری تحت تأثیر ظرفیت این سیستم است؛ بنابراین تحمل تنش‌های محیطی می‌تواند با افزایش سطح آنزیم‌های آنتی‌اکسیدانی در محیط درون‌تنی گیاه بهبود یابد (Khaliq et al., 2015).

در سطح مولکولی، ابتدا سلول‌های گیاهی تنش شوری را به‌وسیله گیرنده‌هایی در سطح غشای سلول دریافت کرده و سپس شبکه‌های پیام‌رسان پیچیده و متناوب شامل مولکول‌های پیام‌رسان، پروتئین‌کینازها و فاکتورهای رونویسی تشکیل شده و در نهایت بیان بسیاری از ژن‌های پایین‌دستی پاسخ‌دهنده به تنش تغییر می‌کند (Golldack et al., 2014). چندین خانواده از گیرنده‌ها در سطح غشای سلول‌های گیاهی وجود دارند که در این میان خانواده RLKها یکی از بزرگ‌ترین خانواده‌های گیرنده‌های سطح سلولی محسوب می‌شوند. این خانواده بر اساس قلمروهای خارج سلولی‌شان شامل دامین‌های S، تکرارهای غنی از لوسین و دامین‌های متصل‌شونده به لکتین، به چند زیرخانواده تقسیم می‌شود. در میان آن‌ها، نقش زیرخانواده LecRLKها در پاسخ سلولی به تنش شوری تأیید و گزارش شده است (Deng et al., 2009). باین‌حال، نقش زیرگروه G-type-LecRLK در سازگاری با تنش‌های محیطی کمتر مورد مطالعه قرار گرفته است. پس از دریافت پیام تنش، تغییر غلظت مولکول‌های کوچک درون فضای سلول مانند کلسیم و اسید آبسزیک موجب ایجاد مسیرهای پیام‌رسان آبشاری مختلف می‌شود (Golldack et al., 2014; Chen et al., 2013). تغییر در غلظت کلسیم با چندین حسگر کلسیم مانند کالمودولین (CaM)، پروتئین مرتبط با CaM، CDPKها و CBLها تشخیص داده می‌شود. حسگرهای کلسیم نوع CBL گیاهی به‌طور خاص با CIPKها تعامل دارند و مجموعه CBL-CIPK را تشکیل می‌دهند. SOS اولین و شناخته‌شده‌ترین عضو مجموعه CBL-CIPK است. این مجموعه پیچیده از طریق فسفریله کردن اجزای پایین‌دستی مانند فاکتورهای رونویسی امکان تداوم مسیر انتقال پیام را فراهم می‌کند (Chen et al., 2013). پس‌از آن، خانواده‌های مختلف فاکتورهای رونویسی با توجه به نقش واسطه‌ای‌شان و امکان اتصال آن‌ها به سطح مولکول‌های DNA پیام‌های درک تنش

فعالیت آنزیم آنتی‌اکسیدانی سوپر اکسیددیسموتاز مورد بررسی قرار گرفت.

تنش شوری، تغییرات بیان ژن‌های دخیل در این مسیر شامل C3H- و HSFA1a، CIPK20، G-type-LecRLK و typeZF ارزیابی شد. به علاوه، محتوای پراکسید هیدروژن و



شکل ۱. مسیر عمومی برای انتقال سیگنال‌های تنش زیستی در گیاهان (Xiong et al., 2002). مثال‌هایی از اجزای درگیر در هر مرحله نشان داده شده است. اختصارات مربوط به اجزاء شامل موارد ذیل می‌شود: lecRLK: CIPK- Receptor Like Kinase، CBL- interacting protein kinases، MAPK: Mitogen-Activated Protein Kinase،

Zinc finger transcription factors: Zn fingers، Heat Shock Factor: HSFs

Fig. 1. A generic pathway for the transduction of abiotic stress signals in plants (adopted from Xiong et al., 2002). Examples of involved components in each step are indicated. The abbreviations of the components include the following: lecRLK: lectin- Receptor like Kinase, CIPK: CBL-interacting protein kinases, CDPK: Calcium Dependent Protein Kinase, MAPK: Mitogen-Activated Protein Kinase, HSFs: Heat Shock Factors, Zn fingers: Zinc finger transcription factors

محلول هوگلند دارای ۷۵ میلی‌مولار کلرید سدیم (برای تیمار ۲۰۰ میلی‌مولار) و ۱۲۰ میلی‌مولار کلرید سدیم (برای تیمار ۴۰۰ میلی‌مولار) به غلظت نهایی رسید. سپس نمونه‌های برگ‌ی پس از ۷۲ ساعت اعمال تنش با غلظت‌های نهایی (تیمارهای ۲۰۰ و ۴۰۰ میلی‌مولار) برداشت و بلافاصله در ازت مایع منجمد شدند.

#### اندازه‌گیری پراکسید هیدروژن

برای تعیین سطح پراکسید هیدروژن ۲۰۰ میلی‌گرم نمونه برگ‌ی در ۱۸۰۰ میکرو لیتر تری‌کلرواستیک اسید ۱٪ (w/v) همگن شد. سپس نمونه‌ها به مدت ۱۵ دقیقه با ۲۰۰۰۰ دور در دقیقه سانتریفوژ شدند و به ۵۰۰ میکرو لیتر محلول رویی، ۵۰۰ میکرو لیتر بافر فسفات (۱۰ میلی‌مولار) و ۱۰۰۰ میکرو لیتر یدید پتاسیم (۱ میلی‌مولار) اضافه گردید. میزان جذب در طول موج ۳۹۰ نانومتر با استفاده از اسپکتروفوتومتر (Shimadzu, UV-1800UV) اندازه‌گیری شد. محتوای پراکسید هیدروژن نمونه‌ها بر اساس منحنی استاندارد تهیه‌شده با استفاده از غلظت شناخته‌شده پراکسید هیدروژن محاسبه و نتایج به صورت نانومول بر گرم وزن تر بیان شد (Loreto and Velikova, 2001).

#### مواد و روش‌ها

##### آماده‌سازی مواد گیاهی

بذرهای گیاه آلوروپوس لیتورالیس از شرکت پاکان بذر اصفهان تهیه شد. بذرها با استفاده از هیپوکلریت سدیم (۸۵٪) به مدت یک دقیقه استریل و سپس در گلدان‌های حاوی شن و ماسه در دمای ۲۰/۳۰ درجه سانتی‌گراد (روز/شب) و دوره نوری ۸/۱۶ ساعت کشت شدند. بعد از ۶۰ روز از گیاهان قلمه تهیه شد و در گلدان‌های پلاستیکی ۳/۵ لیتری حاوی محلول ۱/۲ هوگلند (Hoagland and Arnon, 1950) به صورت هیدروپونیک کشت‌شده و تحت شرایط گلخانه با رطوبت نسبی ۴۵-۶۵ درصد قرار داده شدند. هوادهی با استفاده از پمپ‌های هوا انجام و محلول هوگلند هر دو هفته با محلول جدید جایگزین شد.

##### تیماردهی و نمونه‌برداری

مرحله اعمال تنش شوری با در نظر گرفتن سه سطح تیمار شامل کنترل (محلول هوگلند بدون افزودن نمک کلرید سدیم) و دو تیمار ۲۰۰ و ۴۰۰ میلی‌مولار کلرید سدیم و سه تکرار برای هر یک اجرا شد. به منظور جلوگیری از شوک ناگهانی، غلظت نمک به تدریج و طی سه مرحله (شش روز) با

### تهیه عصاره از نمونه‌های برگ

برای استخراج عصاره، نمونه‌های برگ در حضور ازت مایع به‌طور کامل پودر شدند و سپس ۲۰۰ میلی‌گرم نمونه‌های پودر شده با ۱۸۰۰ میکرولیتر بافر فسفات‌پتاسیم ۵۰ میلی‌مولار (pH=۷) همگن شدند. نمونه‌ها به مدت ۱۸ دقیقه با ۲۰۰۰۰ دور در دقیقه در دمای ۴ درجه سانتی‌گراد سانتریفوژ و مایع رویی به‌عنوان عصاره گیاهی در مراحل بعدی برای بررسی فعالیت آنزیمی استفاده شد.

### فعالیت آنزیم آسکوربات پراکسیداز

فعالیت آنزیم آسکوربات پراکسیداز بر اساس روش Dazy و همکاران (۲۰۰۸) اندازه‌گیری شد. مخلوط واکنش شامل بافر فسفات ۲۵۰ میلی‌مولار (pH=۷)، اسید آسکوربیک ۰/۵ میلی‌مولار، EDTA (۰/۱ میلی‌مولار) و ۵۰ میکرولیتر عصاره گیاهی بود. واکنش با حجم نهایی ۱/۵ میلی‌لیتر با افزودن پراکسید هیدروژن ۱/۲ میلی‌مولار به مخلوط واکنش آغاز شد. میزان اکسیداسیون آسکوربات در طول موج ۲۹۰ نانومتر به مدت ۲ دقیقه اندازه‌گیری شد. نتایج حاصل از آنزیم‌سنجی به‌عنوان واحد فعالیت بر میکروگرم کل پروتئین بیان شد.

### اندازه‌گیری بیان ژن

به‌منظور بررسی میزان تغییر بیان ژن‌های مورد مطالعه، RNA کل از نمونه‌های برگ با استفاده از کیت (Mini Qiagen Inc., Germany) استخراج شد. کیفیت و کمیت RNA به ترتیب توسط ژل آگارز و اسپکتروفتومتری تعیین شد. به‌منظور حذف آلودگی DNA ژنومی، نمونه‌های RNA تحت تیمار آنزیم (RNase free DNase I) (Thermo Fisher Scientific, USA) قرار گرفتند. سپس برای ساخت cDNA تک‌رشته‌ای یک میکروگرم از RNA کل با استفاده از کیت رونویسی معکوس بر اساس روش کار شرکت تولیدکننده (Fermentas, Germany) مورداستفاده قرار گرفت. جفت آغازگرهای اختصاصی استفاده‌شده در جدول شماره ۱ نشان داده شده‌اند (Hashemipetroudi et al., 2104).

واکنش qRT-PCR در حجم نهایی ۲۵ میلی‌لیتر شامل Maxima SYBR Green / ROX qPCR Master Mix cDNA (Thermo Fisher Scientific, US)، ۲۰۰ نانوگرم cDNA به‌عنوان الگو، آغازگرهای رفت و برگشت (هرکدام ۰/۲ میکرومول) و آب فاقد نوکلئاز تهیه شد. چرخه‌های حرارتی

شامل واسرشته‌سازی اولیه در ۹۵ درجه سانتی‌گراد (۱۵ دقیقه)، چرخه شامل واسرشته‌سازی در ۹۵ درجه سانتی‌گراد (۱۵ ثانیه)، اتصال آغازگرها در دمای ۵۹ درجه سانتی‌گراد (۳۰ ثانیه) و بسط در دمای ۷۲ درجه سانتی‌گراد (۳۰ ثانیه) انجام شد. تعیین منحنی ذوب برای بررسی اختصاصیت آغازگرها در دمای ۶۰ تا ۹۵ درجه سانتی‌گراد انجام شد. مقادیر بیان نسبی ژن‌ها با روش  $2^{-\Delta\Delta Ct}$  (Livak and Schmittgen, 2001) با استفاده از GAPDH به‌عنوان ژن مرجع داخلی محاسبه شد.

### تجزیه و تحلیل آماری

برای هر تیمار سه گیاه مجزا به‌عنوان تکرار بیولوژیک در نظر گرفته شد. داده‌های حاصل از آزمایش با استفاده از نرم‌افزار آماری SAS و ویرایش ۹/۱ مورد تجزیه و تحلیل قرار گرفته و مقایسه میانگین تیمارها با آزمون توکی انجام شد.

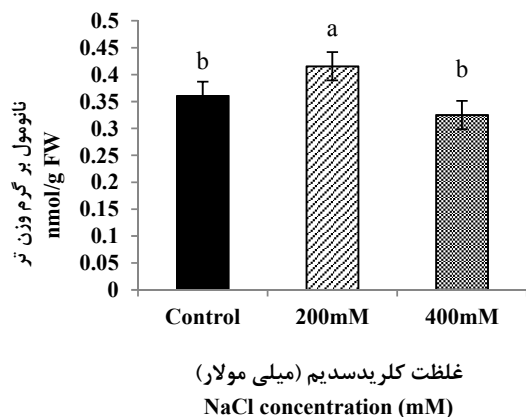
جدول ۱. آغازگرهای اختصاصی استفاده شده برای qRT-PCR  
Table 1. Specific primers used for qRT-PCR

نام ژن Gene name	شماره دسترسی Accession No.	توالی آغازگر Primer sequence
<i>CIPK20</i>	Z191099	caggagatgagccagcact ctgttgctgtgctgctgg
<i>LecRLKs</i>	JK671176	cgccgacaatgggtgaag gggcatccaacctctgtag
<i>HSA1a</i>	Jk671211	gcagtgccagttgtctt tgggctgtgtcata
<i>ZF</i>	JZ191101	gctctgttgctcccctct tcaccattacgcccaatc
<i>GAPDH</i>	JN604531	ttggcaagattaagatcggaat ttgatgtcgtgtgtctcca

### نتایج و بحث

یکی از شاخص‌های اصلی بروز تنش اکسیداتیو در سلول‌های گیاهی تغییر در غلظت پراکسید هیدروژن سلولی است. نتایج این پژوهش نشان داد که محتوای پراکسید هیدروژن در غلظت ۲۰۰ میلی‌مولار کلرید سدیم به‌طور معنی‌داری افزایش یافت، اما در غلظت ۴۰۰ میلی‌مولار کلرید سدیم تغییر معنی‌داری در پراکسید هیدروژن مشاهده نشد (شکل ۲؛ جدول ۲). در کل، افزایش غلظت پراکسید هیدروژن در بیشتر گیاهان تیمار شده با نمک گزارش شده است (Sofa et al., 2015). پراکسید هیدروژن به‌عنوان یک مولکول پیام‌رسان در پاسخ به تنش شوری عمل می‌کند و بر بیان ژن‌های مربوط به تنش

(Modaresi et al., 2014)؛ بنابراین، افزایش فعالیت آنزیم‌های آنتی‌اکسیدانی از جمله آسکوربات پراکسیداز در پاسخ به تنش، نشان می‌دهد که تنظیم تنش اکسیداتیو، یکی از مؤلفه‌های مهم تحمل تنش شوری در گیاه آلوروپوس لیتورالیس است.



شکل ۲. اثر غلظت‌های مختلف کلریدسدیم (۰، ۲۰۰ و ۴۰۰ میلی‌مولار) بر محتوای پراکسیدهیدروژن در نمونه‌های برگ گیاه آلوروپوس لیتورالیس پس از ۷۲ ساعت اعمال تنش شوری. حروف متفاوت اختلاف معنی‌دار بین تیمارها ( $P < 0.05$ ) را نشان می‌دهد.  
**Fig. 2.** Effect of different concentrations of NaCl (0, 200 and 400 mM) on leaf H<sub>2</sub>O<sub>2</sub> content of *A. littoralis* after 72 h of salt stress. Different letters above bars indicate significant differences ( $P < 0.05$ ) among treatments.

جدول ۲. نتایج آنالیز واریانس و مقایسه میانگین صفات فیزیولوژیک در پژوهش حاضر

**Table 2.** Results of analysis of variance and comparison of means of physiological traits in present study

Treatments	تیمارها	میانگین صفات	
		H <sub>2</sub> O <sub>2</sub>	APX
Control	شاهد	0.36 <sup>b*</sup>	0.018 <sup>b</sup>
	۲۰۰ میلی کلریدسدیم	0.41 <sup>a</sup>	0.086 <sup>a</sup>
200 mM NaCl	۴۰۰ میلی کلریدسدیم	0.32 <sup>b</sup>	0.073 <sup>a</sup>
	400 mM NaCl		
P-value		0.0002	0.05
SEM**		0.01	0.01

\*میانگین‌های با حروف مشترک در هر ستون فاقد تفاوت معنی‌دار آماری هستند.

\*Means with sameletter in each column have no statistical difference. \*\*Standard error of means

مانند آنزیم‌های آنتی‌اکسیدانی تأثیر می‌گذارد (Guo et al., 2006; Kumar et al., 2012). انباشت پراکسیدهیدروژن در تیمار ۲۰۰ میلی مولار کلریدسدیم در پژوهش حاضر ممکن است با نقش پیام‌رسان این مولکول مرتبط باشد. از سوی دیگر، به علت اینکه غلظت بالای پراکسیدهیدروژن برای گیاه سمی بوده و گیاهان از آنزیم‌های تخریب‌کننده آن از قبیل کاتالاز و آسکوربات پراکسیداز برای از بین بردن پراکسیدهیدروژن استفاده می‌کنند (Kumar et al., 2012)؛ بنابراین، کاهش میزان پراکسیدهیدروژن در گیاهان تحت شوری با غلظت نمک ۴۰۰ میلی مولار می‌تواند با توان بالای آلوروپوس برای تخریب این ترکیب در شرایط نامساعد در ارتباط باشد.

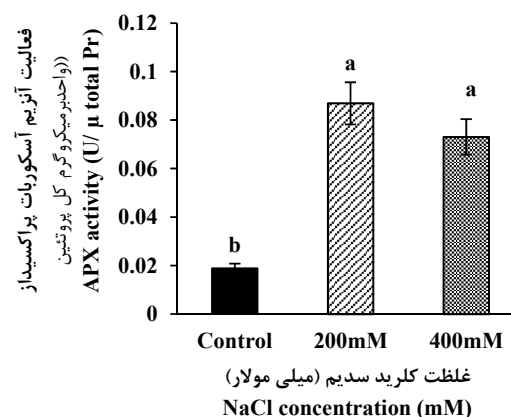
نتایج مشابهی از کاهش سطح پراکسیدهیدروژن تحت تنش شوری در گیاه هالوفیت *Suaeda salsa* گزارش شده است (Cai-Hong et al., 2005). آنزیم آنتی‌اکسیدانی آسکوربات پراکسیداز تمایل زیادی برای حذف پراکسیدهیدروژن از محیط سلولی و تنظیم مقادیر پراکسیدهیدروژن داخل سلولی در طی تنش دارد (آب + دهیدروآسکوربات → پراکسیدهیدروژن + آسکوربات) (Jithesh et al., 2006; Meloni et al., 2003). فعالیت آنزیم آسکوربات پراکسیداز در نمونه‌های برگ گیاه آلوروپوس لیتورالیس تحت تیمار با نمک پس از ۷۲ ساعت به‌طور معنی‌داری نسبت به شاهد افزایش یافت ( $P < 0.05$ ). به‌طوری‌که در هر دو تیمار ۲۰۰ و ۴۰۰ میلی مولار نمک، فعالیت آنزیم آسکوربات پراکسیداز به میزان ۸ و ۷ برابر تیمار شاهد افزایش یافت (شکل ۳؛ جدول ۲).

با این‌وجود بین دو تیمار نمک تفاوت معنی‌دار آماری مشاهده نشد. در پژوهش‌های پیشین، همبستگی مثبت بین غلظت کلریدسدیم و فعالیت آسکوربات پراکسیداز در گیاه مقاوم به نمک *Plantago maritime* و گیاه حساس به نمک *Plantago media* (HediyeSekmen et al., 2007) و گیاهان *Avicennia marina* (Jithesh et al., 2006) و *Thinopyrum ponticum* (Wang et al., 2008) گزارش شده است. در طول تنش شوری به علت تغییر در فرآیندهای متابولیک، تولید گونه‌های اکسیژن فعال افزایش می‌یابد و در نتیجه در میزان و فعالیت پروتئین مربوط به مکانیسم‌های کاهش اکسیژن فعال مانند آنزیم‌های آنتی‌اکسیدان نیز افزایش مشاهده می‌شود (Cai-Hong et al., 2005; HediyeSekmen et al., 2007; Wang et al., 2008).

پیشین نقش و عملکرد این خانواده ژنی را در ایجاد پاسخ‌های مرتبط با تحمل انواع تنش غیر زیستی، به‌ویژه شوری در گیاهان مختلف ارزیابی کردند. افزایش نسبی مقادیر بیان ژن-های *AtLecRLK2* و *AtLecRLK-b2* در گیاه آرابیدوپسیس به‌وسیله تنش اسمزی و شوری گزارش شده است (Deng et al., 2009). همچنین نشان داده شده که ژن *G-type LecRLK* در *Glycine soja* تحت تنش شوری تحریک و بیان آن تحت تأثیر خشکی و اسیدآبسیزیک نیز تغییر می‌کند (Sun et al., 2012). تعداد رونوشت‌های *PsLecRLK* در گیاه *Pisum sativum* تحت تنش شوری ۱۵۰ و ۳۰۰ میلی‌مولار پس از ۶ و ۱۲ ساعت افزایش یافت، با این وجود، بعد از ۲۴ ساعت، سطح بیان ژن نسبت به سطح بیان در گروه شاهد کاهش یافت (Vaid et al., 2008). در مقابل، کاهش در بیان *LecRLK* تحت تنش ۶۰۰ میلی‌مولار کلرید سدیم بعد از ۶ و ۲۴ ساعت در آلورپوس لیتورالیس گزارش شده است (Hashemipetroudi et al., 2014).

درک سیگنال‌های تنش، اولین مرحله در مسیر انتقال سیگنال است و توسط حسگرها و گیرنده‌های سطح سلولی مانند خانواده *RLK* انجام می‌شود. پس از درک سیگنال یون سدیم توسط دنباله خارج سلولی *LecRLK*‌ها، یک آبشار از پروتئین‌های فسفریلاسیون ایجاد می‌شود که باعث فسفریلاسیون پروتئین‌های پایین‌دستی، فعال‌سازی عوامل رونویسی، تغییر مسیرهای هورمونی و در نهایت منجر به فعال شدن ژن‌های پاسخ‌دهنده به تنش می‌شود (Vaid et al., 2008; Li et al., 2014). مکانیسم *SIT1* (*LecRLK*) در برنج، تحت شرایط شوری بررسی شده و نشان داد که *SIT1* سبب فسفریله شدن *MPK3/6* شده و نقش واسطه در تولید اتیلن و سیگنال‌های اتیلن ناشی از شوری دارد که به‌نوبه خود منجر به تولید و انباشت گونه‌های اکسیژن فعال در گیاه می‌شود (Li et al., 2014). به‌طور کلی، با مقایسه نتایج پژوهش‌های ذکر شده می‌توان پیشنهاد کرد که بیان ژن *LecRLK* به‌عنوان یک گیرنده سطح سلولی طی زمان کوتاهی پس از درک تنش شوری، افزایش می‌یابد و در اثر این افزایش مکانیسم‌های دیگر درگیر در تحمل تنش شوری، فعال می‌شوند. پس از آن، بیان ژن به سطح بیان شاهد کاهش یافته و این کاهش با فعال‌سازی ژن‌های پایین‌دستی در ارتباط است و به افزایش احتمال بقای گیاه کمک کند.

در پژوهش حاضر تغییر در الگوی بیان چهار ژن شامل دو ژن متعلق به خانواده کینازها (*LecRLK*) و (*CIPK20*) و دو ژن مرتبط با فاکتورهای رونویسی (*HSFA1a*) و (*ZF*) در برگ‌های گیاه آلورپوس لیتورالیس در پاسخ به ۷۲ ساعت تنش شوری مورد ارزیابی قرار گرفت. به‌منظور تعیین شرایط بهینه تکثیر، تأیید صحت آغازگرهای طراحی شده و بررسی کیفیت *cDNA*، واکنش *PCR* انجام شد. تک باند با اندازه مورد نظر برای تمام ژن‌های مورد بررسی، صحت عملکرد آغازگرهای طراحی شده را تأیید نمود (شکل ۴).

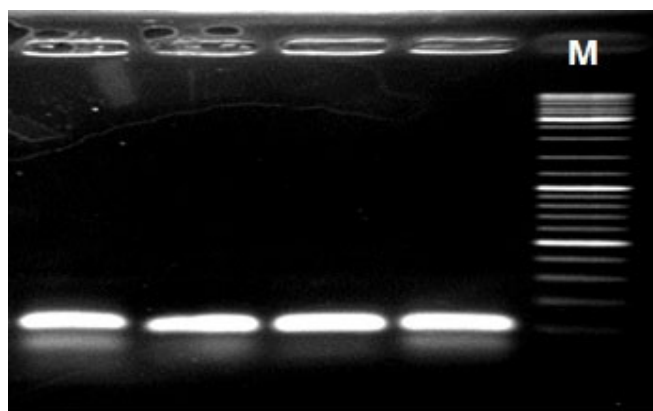


شکل ۳. اثر غلظت‌های مختلف کلرید سدیم (صفر، ۲۰۰ و ۴۰۰ میلی‌مولار) بر فعالیت آنزیم آسکوربات پراکسیداز در نمونه‌های برگ گیاه آلورپوس لیتورالیس پس از ۷۲ ساعت اعمال تنش شوری. حروف متفاوت اختلاف معنی‌دار بین تیمارها ( $P < 0.05$ ) را نشان می‌دهد.

Fig. 3. Effect of different concentrations of NaCl (0, 200 and 400 mM) on the activity and APX enzyme in leaves of *A. littoralis* after 72 h of salt stress. Different letters above bars indicate significant differences ( $P < 0.05$ ) among treatments.

*LecRLKs* گروهی از گیرنده‌های غشایی درگیر در انتقال سیگنال‌های درک تنش هستند. در مطالعه حاضر پس از ۷۲ ساعت تنش شوری، بیان ژن *LecRLK* در غلظت‌های ۲۰۰ و ۴۰۰ میلی‌مولار کلرید سدیم در مقایسه با شاهد تفاوت معنی‌داری نشان نداد (جدول ۳؛ شکل ۵a).

در مطالعه دیگر، اثر شوری (۶۰۰ میلی‌مولار کلرید سدیم) بر بیان این ژن در آلورپوس لیتورالیس پس از یک هفته ارزیابی شده و هیچ تفاوتی بین شاهد و گیاهان تحت تیمار مشاهده نشد (Hashemipetroudi et al., 2014). مطالعات



شکل ۴. محصول PCR برای تأیید صحت عملکرد آغازگرها مورد استفاده در واکنش qRT-PCR. طول قطعات تکثیر شده تقریباً ۱۰۰ جفت باز است. M: نشانگر وزن مولکولی فرمنتاز #SM1153.

Fig. 4. PCR products for confirmation of primers performance used at qRT-PCR. Length of amplified fragments is around 100 bp. M: molecular weight marker #SM0311 (Fermentas).

جدول ۳. نتایج آنالیز واریانس و مقایسه میانگین بیان ژن‌های مورد مطالعه در پژوهش حاضر

Table 2. Results of analysis of variance and comparison of means of studied genes expression in present study

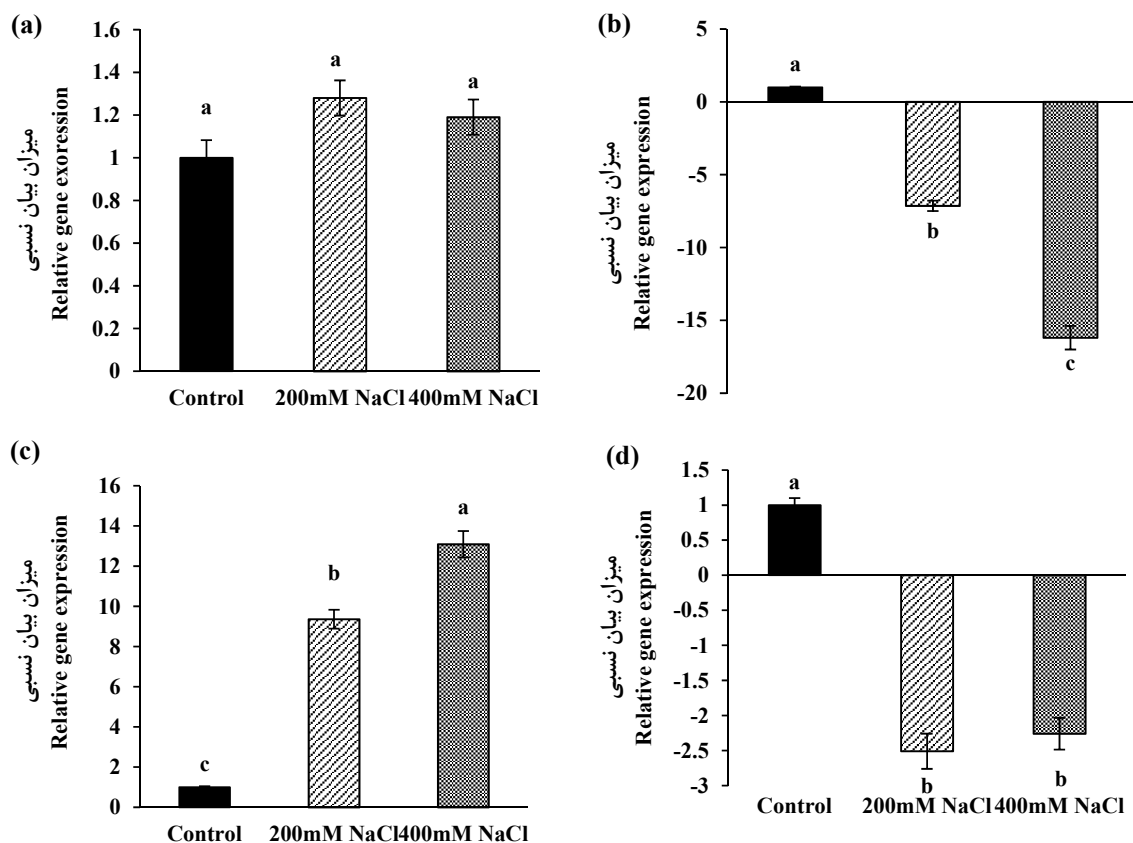
Treatments	تیمارها	Expression means			
		<i>CIPK20</i>	<i>LecRLKs</i>	<i>HSFA1a</i>	ZF
Control	شاهد	1 <sup>a</sup>	1 <sup>a</sup>	1 <sup>c</sup>	1 <sup>a</sup>
200 mMNaCl	میلی مولار	-7.14 <sup>b</sup>	1.28 <sup>a</sup>	9.36 <sup>b</sup>	-2.51 <sup>b</sup>
	کلرید سدیم				
400 mMNaCl	میلی مولار	-16.19 <sup>c</sup>	1.19 <sup>a</sup>	13.09 <sup>a</sup>	-2.26 <sup>b</sup>
	کلرید سدیم				
P-value		<.0001	0.6	<.0001	0.002
SEM**		2.47	0.15	1.79	0.56

است (Pandey et al., 2015)؛ اما در پژوهشی دیگر در گیاه آلروپوس لیتورالیس تحت تنش شوری ۶۰۰ میلی مولار کلرید سدیم اختلاف معنی‌داری در بیان ژن *CIPK20* بین تیمارهای شوری و شاهد مشاهده نشد. این نتایج در کوتاه‌مدت (۶ و ۲۴ ساعت بعد از تیمار نمک) و هم در درازمدت (۷۲ ساعت بعد از تیمار نمک) مشاهده شده بود (Hashemipetroudi et al., 2014)؛ بنابراین، می‌توان اظهار داشت از آنجایی که *CIPK20* در مسیر پیام‌رسانی دخالت دارد و در مراحل اولیه تنش عمل می‌کند، تغییرات بیان آن به شدت معلول مدت زمان اعمال تنش است. از سوی دیگر در مسیر پیام‌رسانی تنش‌ها، فاکتورهای رونویسی نقش

گام بعدی در مسیر پیام‌رسانی تنش، تغییر الگوی بیان برخی از ژن‌های درگیر در فسفوریلاسیون پروتئین‌ها از جمله *CIB/CIPK*، *CDPK*، *MAPK* و غیره است که با میانجی‌گری مولکول‌های پیام‌رسان ثانویه مانند  $Ca^{2+}$  اتفاق می‌افتد (Zhu, 2016; Younesi et al., 2020). نتایج این پژوهش نشان داد که بیان ژن *CIPK20* به‌طور قابل توجهی به ترتیب به میزان ۷ و ۱۶ برابر پس از ۷۲ ساعت قرار گرفتن در معرض ۲۰۰ و ۴۰۰ میلی مولار کلرید سدیم نسبت به شاهد کاهش می‌یابد (جدول ۳؛ شکل ۵b). این نتایج در توافق با مطالعه پیشین است که روند کاهش بیان ژن *CIPK21* را با گذر زمان پس از یک پیک در ۶ ساعت در *G. soja* گزارش شده

تیمارهای ۲۰۰ و ۴۰۰ میلی مولار، بیان آن در حدود ۹ و ۱۳ برابر بیشتر از شاهد بود (جدول ۳؛ شکل ۵c). این نتایج با مطالعات قبلی در برنج مطابقت دارد که افزایش بیان ژن‌های متعلق به اعضای خانواده ژنی HSF تحت تنش‌های خشکی و شوری گزارش کردند (Busch et al 2005). پژوهش‌های دیگری نیز نقش مهم ژن HSFA1a در پاسخ به تنش‌های غیرزیستی دیگر علاوه بر تنش گرما را گزارش کرده‌اند. نشان داده شده است که در آراییدوپسیس، HSFA1a بیان بیش از ۶۵ درصد از ژن‌هایی را که توسط گرما بیان آن‌ها افزایش می‌یابد را کنترل می‌کند و همچنین مشخص شده است که بیان برخی از ژن‌های HSP تحریک‌شده تحت تنش‌های شوری، پراکسید هیدروژن و مانیتول را نیز تنظیم می‌کند (Liu et al., 2013).

مهمی را در کنترل بیان ژن‌های پاسخ‌دهنده به تنش ایفا می‌کنند. تحت تنش گرمایی HSFها فاکتورهای انتهایی مسیر انتقال سیگنال هستند که از طریق فعال‌سازی ژن‌های پاسخ‌دهنده به تنش گرما فعالیت می‌کنند. پژوهش‌های پیشین نشان دادند که تحت تنش گرمایی زیرخانواده‌های HSF-1a/1b در چندین مسیر مختلف شامل بیوسنتز پروتئین و پردازش، پیام‌رسانی، متابولیسم، انتقال و تجمع اسمولیت درگیر هستند (Busch et al., 2005). علاوه بر این مشخص شده است که همپوشانی نسبی بین مسیرهای پاسخ‌دهنده به تنش گرمایی و تنش‌های غیرزیستی دیگر مانند خشکی، سرما و شوری وجود دارد (Jiang et al., 2005). نتایج پژوهش حاضر نشان داد که بیان HSFA1a با غلظت نمک رابطه مستقیم داشت ( $P < 0.05$ ). به طوری که در



شکل ۵. بیان نسبی ژن‌های (a) G-type-LecRLK، (b) CIPK20، (c) HSFA1a و (d) ZF در نمونه‌های برگ گیاه *آلوروپوس لیتورالیس* پس از ۷۲ ساعت اعمال غلظت‌های مختلف نمک کلرید سدیم. GAPDH به عنوان کنترل داخلی استفاده شد. حروف متفاوت اختلاف معنی‌دار بین تیمارها ( $P < 0.05$ ) را نشان می‌دهد.

Fig. 5. Relative expression of (a) G-type-LecRLK gene, (b) CIPK20 gene, (c) HSFA1a gene and, (d) ZF gene, in the leaves of *A. littoralis* after 72 h salt treatment with different concentrations of NaCl (0, 200 and 400 mM) GAPDH was used as an internal control. Different letters above bars indicate significant differences ( $P < 0.05$ ) among treatments



همچنین گزارش شده است که بیش بیان ژن AtHSFA2 تحمل تنش شوری را در آرابیدوپسیس افزایش داد (Ogawa et al., 2007). بهبود تحمل شوری در آرابیدوپسیس تراریخت با بیان بیش از حد HSFA2e برنج نیز گزارش شد (Yokotani et al., 2008). در گونه‌های مختلف گیاهی، برخی از اعضای خانواده HSF نقش‌های انحصاری و متفاوتی را در تنظیم ژن‌های پاسخ‌دهنده به تنش بر عهده دارند. تجزیه و تحلیل گیاه تراریخته گوجه‌فرنگی نشان داد که HSFA1 با سنتز دیگر HSFs مانند HSFA2 و B1 و همچنین HSP نقش منحصر به فردی را به‌عنوان یک تنظیم‌کننده اصلی برای شروع پاسخ تحمل گرما بر عهده دارد. در مقابل، هیچ تنظیم‌کننده اصلی از این خانواده در آرابیدوپسیس یافت نشد (Mishra et al., 2001). واکنش‌های همپوشان و گسترده‌ای از اعضای مختلف خانواده‌های HSP و HSFها برای تحمل گرما و دیگر تنش‌های غیر زیستی گزارش شده است که نشان می‌دهد آن‌ها عناصر مهم در شبکه‌های مختلف انتقال پیام و تحمل تنش‌های مختلف هستند (Liu et al., 2013). فاکتورهای رونویسی ZF نوع C3H پروتئین‌های متصل شونده به RNA-binding را بیان می‌کنند که در پردازش RNA نقش دارند (Bogamuwa and Jang, 2016). علاوه بر این، پروفایل بیانی این زیرخانواده ژنی از ZFها نشان داد بیان آن‌ها تحت تأثیر تنش‌های غیرزیستی و زیستی قرار می‌گیرد و از این رو می‌توانند نقش مؤثری در تحمل تنش‌ها داشته باشند (Bogamuwa and Jang, 2016). در پژوهش حاضر، بیان ژن C3H-

typeZF در هر دو تیمار ۲۰۰ و ۴۰۰ میلی مولار کلرید سدیم به میزان حدود ۲ برابر کاهش یافت (جدول ۳؛ شکل ۵d). نشان داده شده است که ژن AtTZF1 از اعضای زیرخانواده ZF-C3H در گیاه آرابیدوپسیس با تأثیر بر رشد و تکامل گیاه، تحمل تنش را افزایش می‌دهد و تنظیم‌کننده بسیار مؤثر برای کنترل بیان ژن‌های پاسخ‌دهنده به تنش‌های اسیدآبسیزیک، اسیدجیبرلیک و قند است، به‌طوری‌که به‌عنوان یک تنظیم‌کننده مثبت برای تنش اسیدآبسیزیک و یک تنظیم‌کننده منفی برای تنش اسیدجیبرلیک عمل می‌کند (Lee et al., 2012). همچنین تغییر بیان سریع و ماندگار دو ژن AtSZF1 و AtSZF2nv آرابیدوپسیس تحت تنش شوری نشان داده شده است. تجمع رونوشت‌های ژن OsTZF1 در گیاه برنج طی ۲ ساعت پس از تیمار با کلرید سدیم گزارش شده است (Jan et al., 2013). به‌طور کلی، بیان تعداد زیادی از ژن‌ها در گیاهان پس از قرار گرفتن در معرض تنش‌های مختلف تحریک می‌شود و تغییرات با تغییر مسیرهای مختلف باعث ایجاد پاسخ‌های تحمل در گیاه می‌شود. بیان ژن‌های دخیل در انتقال سیگنال‌های تنش شوری در مراحل اولیه پاسخ استرس القا می‌شود. پژوهش حاضر نشان داد که زمان و شدت اعمال تنش دو فاکتور مهم در تعیین نوع پاسخ‌های تنظیمی است. نتایج به‌دست آمده می‌تواند به درک مکانیسم‌های مولکولی تحمل تنش شوری در آلوروپوس لیتورالیس کمک کرده و اطلاعات ارزشمندی را برای طراحی آزمایش‌های بعدی و مهندسی مکانیسم تحمل در گیاهان هم‌خانواده این گیاه فراهم کند.

## منابع

- Bogamuwa, S., Jang, J.C., 2016. Plant tandem CCCH zinc finger proteins interact with ABA, drought, and stress response regulators in processing-bodies and stress granules. *PLoS One*, 11, e0151574.
- Busch, W., Wunderlich, M., Schöffl, F., 2005. Identification of novel heat shock factor-dependent genes and biochemical pathways in *Arabidopsis thaliana*. *The Plant Journal*. 41, 1-14.
- Cai-Hong, P., Su-Jun, Z., Zhi-Zhong, G. and Bao-Shan, W., 2005. NaCl treatment markedly enhances H<sub>2</sub>O<sub>2</sub>-scavenging system in leaves of halophyte *Suaeda salsa*. *Physiologia Plantarum*. 125, 490-499.
- Chen, L., Wang, Q.Q., Zhou, L., Ren, F., Li, D.D., Li, X.B., 2013. Arabidopsis CBL-interacting protein kinase (CIPK6) is involved in plant response to salt/osmotic stress and ABA. *Molecular Biology Reports*. 40, 4759-4767.
- Dazy, M., Jung, V., Féraud, J.F., Masfarau, J.F., 2008. Ecological recovery of vegetation on a coke-factory soil: role of plant antioxidant enzymes and possible implications in site restoration. *Chemosphere*. 74, 57-63.

- Deng, K., Wang, Q., Zeng, J., Guo, X., Zhao, X., Tang, D., Liu, X., 2009. A lectin receptor kinase positively regulates ABA response during seed germination and is involved in salt and osmotic stress response. *Journal of Plant Biology*. 52, 493-500.
- Ganie, S.A., Ahammed, G.J. and Wani, S.H., 2020. Vascular plant one zinc-finger (VOZ) transcription factors: novel regulators of abiotic stress tolerance in rice (*Oryza sativa* L.). *Genetics Resource Crop and Evolution*. 67, 799-807.
- Giannopolitis, C.N., Ries, S.K., 1977. Superoxide dismutases: I. Occurrence in higher plants. *Plant Physiology*. 59, 309-314.
- Golldack, D., Li, C., Mohan, H., Probst, N., 2014. Tolerance to drought and salt stress in plants: unraveling the signaling networks. *Frontiers in Plant Science*. 5, 151. doi:10.3389/fpls.2014.00151. eCollection.
- Guo, M., Liu, J.H., Ma, X., Luo, D.X., Gong, Z.H., Lu, M.H., 2016. The plant heat stress transcription factors (HSFs): structure, regulation, and function in response to abiotic stresses. *Frontiers in Plant Science*. 7, 114. doi: 10.3389/fpls.2016.00114. eCollection.
- Guo, Z., Ou, W.Z., Lu, S.Y., Zhong, Q., 2006. Differential responses of antioxidative system to chilling and drought in four rice cultivars differing in sensitivity. *Plant Physiology and Biochemistry*. 44, 828-836.
- Hashemipetroudi, S.H., Nematzadeh, G., Ahmadian, G., Yamchi, A., Kuhlmann, M., 2014. Expression analysis of salt stress related expressed sequence tags (ESTs) from *Aeluropus litoralis* by quantitative real-time PCR. *Bioscience Biotechnology Research Communications*. 9, 445-456.
- HediyeSekmen, A., Türkan, İ., Takio, S., 2007. Differential responses of antioxidative enzymes and lipid peroxidation to salt stress in salt-tolerant *Plantago maritima* and salt-sensitive *Plantago media*. *Physiologia Plantarum*. 131, 399-411.
- Hoagland, M. B., Stephenson, M. L., Scott, J. F., Hecht, L. I., Zamecnik, P. C., 1958. A soluble ribonucleic acid intermediate in protein synthesis. *Journal of Biological Chemistry*, 231, 241-257.
- Jan, A., Maruyama, K., Todaka, D., Kidokoro, S., Abo, M., Yoshimura, E., Shinozaki, K., Nakashima, K., Yamaguchi-Shinozaki, K., 2013. OsTZF1, a CCCH-tandem zinc finger protein, confers delayed senescence and stress tolerance in rice by regulating stress-related genes. *Plant Physiology*. 161, 1202-1216.
- Jiang, M., Jiang, J.J., Miao, L.X., He, C.M., 2017. Over-expression of a C3H-type zinc finger gene contributes to salt stress tolerance in transgenic broccoli plants. *Plant Cell, Tissue and Organ Culture (PCTOC)*. 130, 239-254.
- Jithesh, M.N., Prashanth, S.R., Sivaprakash, K.R., Parida, A., 2006. Monitoring expression profiles of antioxidant genes to salinity, iron, oxidative, light and hyperosmotic stresses in the highly salt tolerant grey mangrove, *Avicennia marina* (Forsk) Vierh by mRNA analysis. *Plant Cell Reports*. 25, 865-876.
- Khaliq, A., Zia-ul-Haq, M., Ali, F., Aslam, F., Matloob, A., Navab, A., Hussain, S., 2015. Salinity tolerance in wheat cultivars is related to enhanced activities of enzymatic antioxidants and reduced lipid peroxidation. *CLEAN-Soil, Air, Water*43, 1248-1258.
- Kumar, R.R., Sharma, S.K., Gadpayle, K.A., Singh, K., Sivaranjani, R., Goswami, S., Raj, D.R., 2012. Mechanism of action of hydrogen peroxide in wheat thermotolerance-interaction between antioxidant isoenzymes, proline and cell membrane. *African Journal of Biotechnology*. 11, 14368-14379.
- Lee, S.J., Jung, H.J., Kang, H., Kim, S.Y., 2012. Arabidopsis zinc finger proteins AtC3H49/AtTZF3 and AtC3H20/AtTZF2 are involved in ABA and JA responses. *Plant and Cell Physiology*. 53, 673-686.
- Li, C.H., Wang, G., Zhao, J.L., Zhang, L.Q., Ai, L.F., Han, Y.F., Sun, Y., 2014. The receptor-like kinase SIT1 mediates salt sensitivity by activating MAPK3/6 and regulating ethylene homeostasis in rice. *The Plant Cell*. 26, 2538-2553.
- Liu, Y., Zhang, C., Chen, J., Guo, L., Li, X., Li, W., Yu, Z., Deng, J., Zhang, P., Zhang, K., Zhang, L., 2013. Arabidopsis heat shock factor HSFA1a directly senses heat stress, pH changes, and hydrogen peroxide via the engagement of redox state. *Plant Physiology and Biochemistry*. 64, 92-98.
- Livak, K.J., Schmittgen, T.D., 2001. Analysis of relative gene expression data using real-time quantitative PCR and the 2<sup>-</sup>ΔΔCT method. *Methods*. 4, 402-408.

- Loreto, F., Velikova, V., 2001. Isoprene produced by leaves protects the photosynthetic apparatus against ozone damage, quenches ozone products, and reduces lipid peroxidation of cellular membranes. *Plant Physiology*, 127, 1781-1787.
- Meloni, D.A., Oliva, M.A., Martinez, C.A., Cambraia, J., 2003. Photosynthesis and activity of superoxide dismutase, peroxidase and glutathione reductase in cotton under salt stress. *Environmental and Experimental Botany* 49, 69-76.
- Mishra, S.K., Tripp, J., Winkelhaus, S., Tschiersch, B., Theres, K., Nover, L., Scharf, K.D., 2001. In the complex family of heat stress transcription factors, HsfA1 has a unique role as master regulator of thermotolerance in tomato. *Genes & Development*, 16, 1555-1567.
- Modarresi, M., Moradian, F., and Nematzadeh, G.A., 2014. Antioxidant responses of halophyte plant *Aeluropus littoralis* under long-term salinity stress. *Biologia* 69: 478-483.
- Ogawa, D., Yamaguchi, K., Nishiuchi, T., 2007. High-level overexpression of the Arabidopsis HSFA2 gene confers not only increased thermotolerance but also salt/osmotic stress tolerance and enhanced callus growth. *Journal of Experimental Botany*, 58, 3373-3383.
- Pandey, G.K., Kanwar, P., Singh, A., Steinhorst, L., Pandey, A., Yadav, A.K., Tokas, I., Sanyal, S.k., Kim, B.G., Lee, S.C., Cheong, Y.H., 2015. CBL-interacting protein kinase, CIPK21, regulates osmotic and salt stress responses in Arabidopsis. *Plant Physiology*. 169, 780-792.
- Sun, X.L., Yu, Q.Y., Tang, L.L., Ji, W., Bai, X., Cai, H., Liu, X.F., Ding, X.D., Zhu, Y.M., 2012. GsSRK, a G-type lectin S-receptor-like serine/threonine protein kinase, is a positive regulator of plant tolerance to salt stress. *Journal of Plant Physiology*. 170, 505-515.
- Sofo, A., Scopa, A., Nuzzaci, M. and Vitti, A., 2015. Ascorbate Peroxidase and catalase Activities and Their Genetic Regulation in Plants Subjected to Drought and Salinity Stresses. *International Journal of Molecular Sciences*. 12, 13561-13578.
- Vaid, N., Pandey, P., Srivastava, V.K., Tuteja, N., 2008. Pea lectin receptor-like kinase functions in salinity adaptation without yield penalty, by alleviating osmotic and ionic stresses and upregulating stress-responsive genes. *Plant Molecular Biology*. 88, 193-206.
- Wang, D., Guo, Y., Wu, C., Yang, G., Li, Y., Zheng, C., 2008. Genome-wide analysis of CCCH zinc finger family in Arabidopsis and rice. *BMC Genomics*. 9, 44. Doi: 10.1186/1471-2164-9-44
- Xiong, L., Schumaker, K. S., Zhu, J.K., 2002. Cell signaling during cold, drought, and salt stress. *The Plant cell*. 14, 165-183.
- Yokotani, N., Ichikawa, T., Kondou, Y., Matsui, M., Hirochika, H., Iwabuchi, M., Oda, K., [2008. Expression of rice heat stress transcription factor OsHSFA2e enhances tolerance to environmental stresses in transgenic Arabidopsis. *Planta*. 227, 957-967.
- Younesi-Melardi, E., Nematzadeh, G. A., Pakdin-Parizi, A., Bakhtiarzadeh, M. R. Motahari, S. A., 2020. De novo RNA sequencing analysis of *Aeluropus littoralis* halophyte plant under salinity stress. *Scientific Reports*. 10, 1-14.
- Zhu, J. K., 2016. Abiotic stress signaling and responses in plants. *Cell*. 167, 313-324
- Zouari, N., Saad, R.B., Legavre, T., Azaza, J., Sabau, X., Jaoua, M., Masmoudi, K., Hassairi, A., 2007. Identification and sequencing of ESTs from the halophyte grass *Aeluropus littoralis*, *Gene*. 404, 61-69.



*Original article*

## Expression analysis of some genes involved in signaling networks of *Aeluropus littoralis* (Gouan) Parl. under salinity stress

E. Younesi-Melerdi<sup>1</sup>, Gh. A. Nematzadeh<sup>2</sup>, A. Pakdin-Parizi<sup>3\*</sup>

1. Ph.D. Student of Plant Biotechnology, Genetics and Agricultural Biotechnology Institute of Tabarestan, Sari Agricultural Sciences and Natural Resources University, Sari, Iran
2. Professor, Department of Agronomy and Plant Breeding, PhD in Genetics, Sari Agricultural Sciences and Natural Resources University, Sari, Iran
3. Assistant Professor of Genetics and Agricultural Biotechnology, PhD in Biotechnology, Genetics and Agricultural Biotechnology Institute of Tabarestan, Sari Agricultural Sciences and Natural Resources University, Sari, Iran

Received 5 May 2019; Accepted 9 July 2019

### Abstract

Plants respond to the destructive effects of salinity through changes in physiological and molecular processes. In the present study, the activity of SOD and APX antioxidant enzymes and changes in the expression of G-types-LecRLK, CIPK20, HSFA1a and C3H-ZF genes, involved in signaling and regulatory networks of *Aeluropus littoralis*, under salt stress has been investigated. The plant cuttings were cultured hydroponically under controlled conditions. The experimental design was consisted of a control (Hoagland's solution without NaCl addition) and two treatments (200 and 400 mM NaCl). After 72 h of salt treatment, leaf samples were harvested and H<sub>2</sub>O<sub>2</sub> content, SOD and APX enzymes activity and also changes in gene expression were measured by qRT-PCR. The results showed that the activity of antioxidant enzymes in both 200 and 400 mM NaCl concentration was significantly increased ( $P < 0.05$ ). The lecRLK gene expression was not significantly changed among different treatments. The expression of CIPK20 gene were decreased 7 and 16 folds lower than control at 200 and 400 mM of NaCl treatments, respectively. The obtained results revealed that expression of HSFA1a gene was positively associated with salt concentration ( $P < 0.05$ ). So that, the expression of HSFA1a in 200 and 400 mM NaCl was 11 and 13 folds more than control, respectively. The expression of ZF30 gene was decreased significantly in both 200 and 400 mM NaCl treatments ( $P < 0.05$ ). The results showed that the expression pattern of studied genes is different under salt stress conditions that can be related to the role of each gene, salt concentration and stress duration.

**Keywords:** *Aeluropus littoralis*, Abiotic stress, Gene expression, Halophyte, Salt tolerance.

\*Correspondent author: Ali Pakdin-Parizi; E-Mail: [a.pakdin@sanru.ac.ir](mailto:a.pakdin@sanru.ac.ir).